

Значения  $\alpha=0,3$  и  $\alpha=0,8$  лежат в допустимой области  $0,225 < \alpha < 4,4$  и дают одинаковую скорость затухания возмущения, обеспечивая затухание возмущения за время около  $10^{-3}$  с. Значение  $\alpha=0,1$  выходит за ее границы и приводит к значительно меньшей скорости затухания возмущения.

Рассмотренный пример подтверждает возможность использования предложенной методики для расчета цепи питания плазмотрона по ее заданным времененным характеристикам.

#### Литература

1. Капцов Н.А. Электрические явления в газах и вакууме. – М.: ГИТТЛ, 1950. – 836 с.
2. Даутов Г.Ю., Дзюба В.Л., Карп И.Н. Плазмотроны со стабилизованными электрическими дугами. – Киев: Наук. Думка, 1984. – 168 с.
3. Я.Б.Зельдович, А.Д.Мышкис. Элементы прикладной математики. – М.: Наука, 1967. – 648 с.

УДК 621. 74: 669. 15. 196.

В.А. Колесников

### ОСОБЕННОСТИ ИЗНАШИВАНИЯ ГРАФИТИЗИРОВАННЫХ МАРГАНЦЕВЫХ ЧУГУНОВ В УСЛОВИЯХ СУХОГО ТРЕНИЯ

Рассмотрено поведение графитизированных марганцевых чугунов в условиях сухого трения с учетом возрастания нагрузки. Показано, что на интенсивность изнашивания существенное влияние оказывает пластичность и вязкость марганцевого аустенита. Отмечены некоторые аспекты поверхностного и объемного разрушения исследуемых чугунов с учетом гетерогенности их структурно-фазового состава.

Развитие современной науки и техники, а также создание новых материалов предназначенных для работы в условиях трения, не смогли отодвинуть проблему изнашивания сопряженных поверхностей. Накопление большого количества экспериментальных данных и развитие новых методов исследования, а также применение системного подхода при изучении проблемы износа стимулировали возникновение такого концептуально нового научного направления в областях, связанных с созданием и применением конструкционных материалов как инженерия поверхности [1,2]. С точки зрения трибологии все основные процессы, оказывающие влияние на износостойкость материала, локализуются в поверхностных и подповерхностных слоях, входящих в окрестности зоны трения и непосредственно в саму зону трения. Поэтому более детальное исследование процессов поверхностного разрушения и формирование свойств материалов при их эксплуатации с точки зрения инженерии поверхности должно явиться мощным толчком при создании новых сплавов и оценке триботехнических возможностей существующих.

Узлы трения современных машин и механизмов работают при различных нагрузках, что существенным образом влияет на их износостойкость. В то же время износостойкость практически всех литых железоуглеродистых сплавов является структурно чувствительным свойством. Регулируя с помощью специальных технологических методов (легирование, модифицирование и т. д.) структурно-фазовый состав сплавов, можно существенным образом влиять на их триботехнические характеристики.

Особый интерес в этой связи представляют железоуглеродистые графитизированные марганцевые сплавы. Они обладают высокой чувствительностью к скорости охлаждения, что позволяет при правильной корректировке химических составов и технологических процессов получать практически все виды металлических матриц, характерных для данного типа сплавов [3,4].

Однако наибольшую известность и распространенность получили углеродистые сплавы высокого легирования марганцем, структура металлической которых состоит из аустенита [5,6,7,8,9,10]. Их характерной особенностью является высокая износостойкость, причем в наибольшей мере это проявляется в условиях повышенных нагрузок (особенно при ударных нагрузках). Так, например, волчий материал данного вида, сталь «Гадфильда» может претерпевать износ под действием нагрузки, ее твердость может повышаться в 2-3 раза [6,7].

Многие исследователи это связывают со специфичностью марганцевого сплава, проявляющейся, в первую очередь, в том, что он обладает повышенной прочностью к наклепу [6,7]. Особые свойства марганцевого аустенита, повидимому, можно объяснить изменением характера пространственного взаимодействия атомов железа и марганца в результате чего d – электроны атомов железа принимают большее участие в связи, что и является основным фактором в определении свойств марганцевых сплавов [9,10]. Это приводит к тому, что под действием нагрузки происходит упрочнение как поверхностных, так и подповерхностных слоев, а значит, иным образом влияет на износостойкость [11,12].

Анализ литературных источников показал, что систематических данных, отражающих влияния нагрузочных параметров на триботехнические характеристики чугунов, практически нет.

Следует также отметить, что особенностью изнашивания железоуглеродистых сплавов в условиях сухого трения является то, что ввиду сложной гетерогенной структуры получить одинаковые значения данных при повторном проведении эксперимента удается не всегда. Также следует учитывать, что разрушение в процессе изнашивания комплексно легированных марганцевых чугунов ввиду их гетерогенного строения вносит очень сложный характер. Многие исследователи опускают такие важные факторы, как особенности приработки сплавов в условиях сухого трения, а также анализ результатов повторных экспериментов. Кроме того, на износ влияет множество других факторов: изменение микрогеометрии контакта, температура и влажность окружающей среды, возможное попадание инородных тел в процессе контактирования, схватывание смачиваемых поверхностей, а также приваривание крупных частиц износа к поверхности тела или контргнета, что не позволяет тем самым получить максимально точное прилегание поверхностей трения, и т. д. Усреднение полученных в ходе эксперимента данных может исказить представления о триботехнических возможностях материала. Выявление общих закономерностей изнашивания материалов может осуществляться отображение экспериментального материала в виде кривых (например, кривые износа).

Целью данной работы являлось проведение экспериментальных и аналитических исследований по выявлению влияния нагрузки на износостойкость графитизированных углеродистых сплавов высокого легирования марганцем.

Сплав 1 имел следующий химический состав: C = 3,7 %; Si = 3,0 %; Mn = 12 %; Cr = 1,0 %; Cu = 2,5%; Cr = 1,0 %; V = 0,5%; Ti = 0,5%. Сплав 2 обладал таким же химическим составом, за исключением Cr, V и Ti, содержания которых было снижено: Cr = 0,1%; V = 0,1%; Ti = 0,1%.

В качестве базы сравнения были выбраны никелевый (ЧН15ДХ2, имеющий промышленное название «нирезист») и серый (СЧ 20) чугуны, которые в дальнейшем будут обозначаться как сплав 3 и 4 соответственно.

Испытания на износ проводились на машине трения СМЦ-2 по схеме ролик-контура в режиме сухого трения, так как именно этот режим позволяет максимально четко выделить влияние структуры на триботехнические характеристики чугунов. Кроме того, в режиме сухого трения можно рассматривать как граничный случай трения в масле, а точнее, трение, при котором происходит так называемое «масляное голодание», т. е. исчезновение масла из зоны трения.

Из исследуемых чугунов были изготовлены колодочки, а из стали 45Г ролики (используемые в качестве контргнета), закаленные до твердости HRC 55-58. Испытания

применяется при усилиях трения 0,5 – 5,0 МПа и скорости скольжения 100–200 м/с.

При использовании азотированной прокатки (при усилии трения 0,5 МПа) образца не имеет признаков износа на поверхности трения в постоянном контакте.

Износ образца определялся методом зашкуривания волнистыми салфетками (УМК-1).

Сплавы I и II имели аустенитическую металлическую основу, в которых разбросаны мартенситические комплексы карбидов типа  $(Fe, Ni)_3C$ . Структура графита располагается в виде пластин, а также присутствуют в виде звездообразных. Минерализация II, содержащая первичный аустенит находилась в пределах 1500 МПа, а карбиды 1500–1550 МПа.

В сплаве III первый слой состоял из аустенита, однако в отверстии от износа на чугуне от образование окиси, соответственно, с предварительной ПДК ОИК предрасположен под действием никеля. Минерализация металлической основы сплава 2300–2800 МПа.

Структура второго слоя состояла из феррито-перитной смеси с равномерным расположением пластинчатого графита пластинчатой формы. Твердые структурные компоненты были представлены в виде цементита. На  $\sim 5000$ –8000 МПа. Минерализация металлической основы сплава 1800–2800 МПа.

Для большинства известных сплавов прослеживается следующая закономерность: с увеличением нагрузки износ возрастает [13]. Сплав же минерализации выполняется не всегда [14].

Зависимость интенсивности изнашивания от нагрузки сплава I представлена на рис. 1 (кумы отбирают данные полученные в условиях последовательного увеличения нагрузки). Из него видно, что зависимость изнашивания этого сплава является плавающей извилиной изогнутой кривой. Такой же характер зависимости отмечается и для других чугунов на основе высокомартенситового аустенита.

Аналогичную зависимость интенсивности изнашивания от нагрузки (0,5–1,5 МПа) получили Майклсайд и Лис [14] при испытании образца по обратующей линии (железо сталь по твердой кремнистой стали) в условиях скольжения трения, при скорости скольжения 1 м/с. Интенсивность изнашивания, согласно экспериментальным данным этих исследований, зависит по мере увеличения давления, затем падает и далее вновь увеличивается. Изучая продукты износа, Лис показывает, что снижение интенсивности изнашивания связано с образованием окиси  $Fe_3O_4$ , которая предохраняет поверхность от изнашивания. Так же следует упомянуть, что при малых усилиях нагрузки и низких скоростях скольжения, согласно данным, приведенным в работе [14], износ в основном состоит из  $Fe_2O_3$ , а при больших давлениях и высоких скоростях скольжения – из  $Fe_3O_4$ .

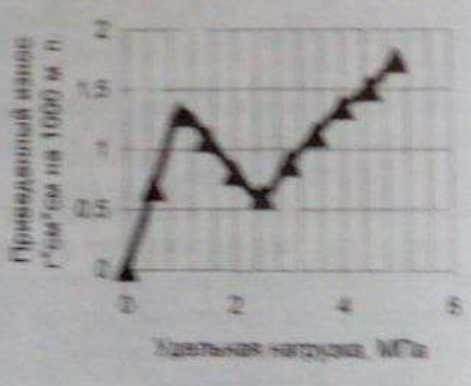


Рис. 1. Зависимость интенсивности изнашивания сплава I от усилия трения.

для серого и аустенитного никелевого чугуна отмечается постепенный рост интенсивности износа с увеличением нагрузки (см. табл. 1).

Таблица 1

Поступательный износ различных чугунов  $\text{г}/\text{см}^2$  на 1000 метров пути при различном удельном давлении  $\text{кг}/\text{см}^2$

Удельное давление, $\text{МПа}$	Износ сплавов $\text{г}/\text{см}^2$ на 1000 метров пути			
	Сплав 1	Сплав 2	Сплав 3	Сплав 4
0,5	0,6738	7,1125	6,3564	33,9482
1,0	1,2946	11,123	6,5864	56,9445
1,5	1,0824	7,5456	6,8561	69,5095
2,0	0,8056	4,9361	7,0234	76,5093
2,5	0,6048	4,8236	7,2356	125,4562
3,0	0,8816	5,2356	7,4587	-
3,5	1,124	6,6234	7,5862	-
4,0	1,354	7,2484	7,8592	-
4,5	1,5054	8,4845	8,3459	-
5,0	1,747	9,0802	8,7258	-
Гардюк НВ	250	161	192	174

Если изобразить кривую зависимости интенсивности износа от нагрузки для сплавов 1 и 4, то она будет иметь классический идентичный вид ступенчатого характера с ярко выраженным переходом из области слабого износа в область интенсивного износа.

При нагрузке в 2,5 МПа у сплава 1 появились заусенцы. Однако, они были значительно меньше, чем у «нирезиста», у которого заусенцы стали появляться при нагрузках 1,0-1,5 МПа. У серого чугуна заусенцев почти не было. Следовательно, у сплавов 1 и 2 с аустенитной основой характер разрушения сплава носит полластический характер, а у серого чугуна – диспергированный.

У сплава 1 вблизи поверхности трения цвета побежалости появились только при нагрузке 5,0 МПа и имели соломенный цвет, а сплава 3 цвета побежалости появились при нагрузке в 1,5 МПа и были желтого цвета.

Появление цветов побежалости свидетельствует об увеличении температуры в зоне трения, а также о протекании окислительных процессов на поверхностях трения и связанном появлении вторичных структур, которые оказывают существенное влияние на интенсивность изнашивания [11] и могут являться одной из причин, объясняющих характер изнашивания данных сплавов. Появление пленок окислов на поверхностях трения сопровождается переходом от режима схватывания при нагрузках 0,2-1,5 МПа к режиму скольжения. Протеканию изнашивания данных сплавов при более высоких нагрузках в пользу этого утверждения косвенным доказательством служит тот факт, что при нагрузке 1,0 МПа был слышен сильный свист, наличие которого свидетельствует об схватывании материалов. При более высоких нагрузках такого свиста не наблюдалось. О схватывании при небольших нагрузках можно судить по характеру разрушения поверхностей трения как ролика, так и колодочки, а также по характеру продуктов износа.

Одним из доводов возникновения процессов схватывания могут служить гравитационные (иногда резкие) колебания величины момента трения и его повышенные значения. Присутствие в продуктах износа крупных включений по внешнему виду (их называют напоминают форму пластин) и цвету, которые можно отнести к контролю (пластинам), чего почти не наблюдалось при более «спокойных режимах» протекания изнашивания. О более «спокойных режимах» протекания износа можно судить по более низкому моменту трения (коэффициенту трения), отсутствию свиста в процессе трения, а также более низким значениям износа. Для режимов схватывания и интенсивного изнашивания наблюдалось: увеличение размеров частичек, отклонение от равноосной конической формы, наличие сложной геометрической формы частичек, присутствие

крупных частиц, а также частиц, напоминающих микротрещку. В целом же свидетельствует о сложном процессе разрушения поверхностных и подповерхностных слоев в условиях сухого трения, марганцевых чугунов.

Значения величины износа были выражены в массовых, объемных и линейных значениях и представлены для удобства сравнения в виде значений приведенного износа на 1000 метров пути. Это позволило более удобно сравнивать полученные значения, в том числе и с известной классификацией Б. Н. Костецкого [11], согласно которой данный режим повреждаемости можно квалифицировать, как схватывание I рода.

При нагрузках, начиная от 1,5 - 2,0 МПа, у сплавов 1, 2 наблюдалось интенсивное выкрашивание графита, который «намазывался» на поверхности трения, что, безусловно, также отразилось на результатах эксперимента. Графит по сути дела выполнял роль твердой смазки, что, очевидно, и обусловило снижение интенсивности износа в интервале нагрузок 1,0-2,5 МПа. Включения графита ограждали поверхность, уменьшали удельные давления и контактные напряжения, «слаживая» тем самым процесс трения и способствуя уменьшению износа, схватыванию, сопряженных поверхностей, а также снижению коэффициента трения. В результате присутствие графита нарушило контакт металлических поверхностей, что позволило облегчить их относительное перемещение снизить потери на трение.

По данным В.Е. Канарчука [13] включения пластинчатого графита, неориентированные в направлении относительного движения, расклинивая отдельные участки металлической основы, способствуют их выкрашиванию. Следовательно, ориентация пластинчатого графита в направлении движения, будет расклинивать отдельные участки металлической основы.

Однако в настоящее время уровень литеиной технологии еще не позволяет сформировать отливку (будущую деталь) с учетом нужной морфологии, ориентации и распределения всех структурных и фазовых составляющих, чтобы обеспечить максимально возможный уровень триботехнических характеристик материала. И очевидно, что на решение этой задачи потребуется длительный период времени, связанный, в том числе, и с накоплением необходимого количества информации о роли, влиянии и распределении структурных и фазовых составляющих, обеспечивающих требуемую работоспособность трибосопряжения, с учетом всех значимых факторов.

Области в чугуне, в которых располагаются графитные включения, некоторые исследователи рассматривают как поры [13]. Тогда можно предположить, что вследствие деформации некоторых объемов материала поверхностных и подповерхностных слоев, входящих в зону трения, часть не выкрошившегося графита остается закрытой в порах «наплывающими» слоями, что может производить расклинивающее действие и способствовать появлению микротрещин как в металлической основе сплава. А разрушение поверхности и образование продуктов износа во многих случаях как раз и является результатом возникновения и развития микротрещин в поверхностном слое материала [7].

В процессе проведения испытаний была отмечена следующая закономерность при повторном проведении испытаний после более высоких нагрузок износ колодочкой при более низких нагрузках снижался. Так, например, при уд. давл. 0,5 и 1,0 МПа износ составил 0,0392 и 0,0628 г соответственно за 1 мин. После того, как были сделаны испытания при нагрузке в 2,5 МПа, повторно проведены испытания при нагрузке 0,5 МПа и 1,0 МПа, износ соответственно составил 0,0254 и 0,0488 г.

В работе [14] приведены такие результаты: при переходе с большей нагрузкой на меньшую наблюдается период, в течение которого износ вовсе прекращается. В этот момент авторы усматривают аналогию с закономерностью распределения усталостных явлений в объеме материала, когда при переходе от больших нагрузок к меньшим трещин в материале, когда при переходе от больших нагрузок к меньшим трещина временно прекращает свой рост, а затем вновь развивается. Это является подтверждением усталостной природы износа.

Наиболее расхождение в результатах происходило когда были повторно испытания при нагрузках, начиная от 0,5 МПа и далее, после нагрузок 10-15 кг/см<sup>2</sup>. На интенсивность износа существенное влияние оказывает износ пружинящихся поверхностей, которая существенным образом влияет на износ трущихся поверхностей.

В работе [15] приведены данные о том, что для марганцевого чугуна, имеющего состав 3,4-3,6 % С; 4,0-4,3 % Si; 11,1-11,3 % Mn; 0,1-0,15% S; 0,18-0,3% P и исключением карбидов и графита, отмечалась следующая закономерность. Коэффициент трения 20 кг/см<sup>2</sup> в условиях сухого трения наблюдалось явление скрепления, коэффициент трения был больше, чем при нагрузке в 35 кг/см<sup>2</sup>, а износ при вышеупомянутых нагрузках был практически одинаковым. Причем результаты экспериментов в работе [15] были аналогичными с условиями, изложенными в данной работе, за исключением того, что скорость скольжения составляла

Дальнейшими автором статьи были проведены испытания при скорости скольжения 1,05 м/с, результаты которых подтвердили отмеченные выше особенности. Увеличение скорости скольжения позволяет прирабатывать образцы за короткий период, снижает интенсивность изнашивания, а также уменьшает «зубья небольших нагрузок», при которых происходит схватывание сопряженных деталей.

Микроструктурный сравнительный анализ поверхностей трения исследуемых конструкций показал, что при небольших нагрузках и в случае малой интенсивности износа изменения топографии и характер рельефа поверхностей неизменены. Металлографическими и дюрометрическими исследованиями установлено, что поверхностные структуры мелкодисперсны, по внешнему виду неизменены, но отличаются от структур основного материала и обладают при одинаковых нагрузках несколько большей микротвердостью, что свидетельствует об интенсивных физико-химических процессах, протекающих в поверхностных слоях, расположенных в зоне трения. Проводилось изучение структуры поверхностных и подповерхностных слоев образцов, после каждого цикла при увеличении нагрузки (особенно с 3,5 МПа). Полученные данные свидетельствуют о том, что в этих слоях происходят процессы, значительно усилившие их разрушение. А анализ продуктов износа показывает, что имеет место выкрашивание крупных блоков. Более тщательное изучение поверхностей, например, в период приработки, после перехода с меньшей нагрузки на большую, показывает, что помимо выкрашивания крупных блоков происходит срезание макрорыстуктов. В конечном итоге приводит к адаптированию поверхности и коррекции топографии поверхности, характеризующейся значительно меньшей микротвердостью.

Существенную роль на интенсивность изнашивания оказывают вязкотензометрические свойства данных сплавов.

При этом были проведены эксперименты по выявлению степени упрочненности исследуемых сплавов.

На стандартных образцах Ø 30 и высотой 20 мм на прессе Бринелля в центре пяток, сделанных 10-мм шариком, вторично замеряли твердость 5-мм шариком для определения упрочнения. При этом первая нагрузка составляла 3000 кг, а во втором — 750 кг. Так же, как и в первом случае, твердость измерялась дважды, соответственно 57 и 27%.

При этом в первом случае нагрузка составляла 3000 кг, а во втором – 750 кг. Так как в первом и во втором случаях твердость в литом состоянии и после трения изменилась одинаково, то для оценки величины упрочнения твердого раствора проводили измерение его твердости в литом состоянии и после трения. Измерение микротвердости проводилось в направлении, перпендикулярном к поверхности трения. Увеличение твердости в результате трения определялось по формуле

Для оценки величины упрочнения твердого раствора проводили измерение микротвердости в литом состоянии и после трения. Измерение микротвердости отмечается на глубину до 0,12-0,15 мм. Вычисленный на основе

проведенных измерений коэффициент упрочнения марганцевого аустенита по формуле 1, оказался равным  $K_{упр} = 0,12-0,15$ .

$$K_{упр} = \frac{H\mu_{лит}}{H\mu_{упр}}, \quad (1)$$

где  $H\mu_{лит}$ ,  $H\mu_{упр}$  - микротвердость материала в литом и упрочненном состоянии соответственно.

На основании вышеизложенного можно заключить, что одними из главных факторов (помимо нагрузки и скорости скольжения, и внешней среды), оказывающих существенное влияние на изнашивание марганцевых чугунов в режиме сухого трения являются:

- 1) гетерогенность структуры, обусловливающие сложный механизм разрушения поверхностных и подповерхностных слоев материала;
- 2) пластичность и вязкость марганцевого аустенита;
- 3) характер приработки, который определяет первоначальное формирование микрорельефа, в дальнейшем влияющего на износ.
- 4) интенсификация активных физико-химических процессов, протекающих в поверхностных и подповерхностных объемах, расположенных в зоне трения.
- 5) выкрашивание графита, играющего роль сухой смазки.

#### Выводы

1. Выявлена особенность изнашивания чугунов на основе высокомарганцевого аустенита, состоящая в аномально нисходящем ходе кривой интенсивность износа, - удельная нагрузка.

2. В процессе проведения экспериментов была отмечена следующая закономерность: при повторном проведении испытаний после более высоких нагрузок износ колодочки при более низких нагрузках снижался.

3. Для режима схватывания и интенсивного износа отмечено наличие крупных частиц износа, имеющих форму микростружки и неравноосных лепестков, в то время как для более «спокойных» режимов трения характерно наличие более мелких частичек износа, имеющих форму равноосных лепестков.

#### Литература

1. Харламов Ю. А., Будагянц Н. А. Физика, химия и механика твердого тела: Луганск: ВУГУ, 2000. – 624 с.
2. Abstracts paper. 2nd world tribology congress. Vienna : OTG, 2001- 1268 р.
3. Справочник по чугунному литью. - М: Машиностроение. Ленингр. отд-ние, 1978.-758 с.
4. Мирошниченко И.Н. Коррозионно-абразивная стойкость марганцевого чугуна, легированного медью и алюминием // Литейное производство. - 1984. - №8. - С. 8-10.
5. Лагута В. И., Хинчагов Г. В., Колесников В. А. Связь характеристик трения графитизированных аустенитных сплавов с их исходными внутренними параметрами. Ресурсозбирающие технологии виробництва та обробки тиском матеріалів у машинобудуванні. Зб. наук. пр. – Луганськ: Вид-во СНУ, 2001. –268 с.
6. Волынова Т.Ф. Высокомарганцевые стали и сплавы М: Металлургия, 1988. - 343 с.
7. Коршунов Л.Г., Черненко Н.Л. Влияние марганца на износстойкость марганцовистых метастабильных аустенитных сталей. – Трение и износ, 1984. - №1. - С. 109-112.
8. Кузменко А. Ю., Платонов Е. А., Федоров Г. Е. Новый безникелевый чугун для деталей систем гидроудаления тепловых электростанций // Литейное производство 2001 № 4 с. 10.
9. Филиппов М. А. Метастабильный марганцевый аустенит как структурная основа сталей с высокой стойкостью в условиях динамического контактного нагружения // Металловедение и термическая обработка металлов - 1995. - № 10. с. 12-15

10. Дитвинос В. С. Межатомные взаимодействия и свойства // Металловедение и термическая обработка - Киев: Техника, 1976. - 292 с.
11. Костенский Б.И., Носовская Н.Г. Контактное трение - Киев: Техника, 1976. - 292 с.
12. Бекрович И. И. Тромоинерация. Справочник. - Самара: СамГУ, 1996. - 264 с.
13. Канарчук В. Е. Адаптация материалов к гравитации. - Самара: СамГУ, 1996. - 264 с.
14. Крагельский И. В., Добрыгин М. И. М. Машиностроение, 1977. - 526 с.
15. Волков А. Н., Ровнова Э. А. Волнистое изнашивание. - Самара: СамГУ, 1996. - 176 с.

УДК 52-13

И.В. Севин

ИСТОЧНИКИ

Сделан обзор  
Рассмотрены  
на сегодняшний  
день гравитационные

Данная работа носит общий характер и изучает гравитационные волны как наиважнейший источник излучения, а также проекты по детектированию гравитационных волн.

Спиноры, точно так же, как и волны, легко обобщаются от случая пло-

Каждое событие Р в искривленном пространстве. В нем существуют локализованные в Р. Геометрия спиноров (локально лоренцева геометрия) описывает движение любых двух векторов u и v в R,

где  $\eta_{ab}$  метрический тензор.

Таким образом, математическое описание и плоское пространство-время в математическом плане в одновременности может быть без изменения произвольным событием Р в искривленном пространстве.

Спиноры в искривленном пространстве-времени описываются математическим аппаратом, состоящим из квантованных частиц с полем. Возьмем в качестве примера спинор, который может действовать на внешнее поле. Это слабого взаимодействия (т. е. это доказательство было бы недостаточно). Чтобы воспользоваться

Попов В. С. Межатомное взаимодействие в железомарганцевых сплавах, их стабильность и свойства // Металловедение и термическая обработка металлов. - 1995. - № 10 с. 16-17

Бастелль Б. И., Носовской И. Г., Караполов А. К. Поверхностная прочность материалов при изнашивании. Кнів. Техника, 1976. - 292 с.

Громанорвский Д. Г. Трибология. Физические основы, механика и технологические приложения. Самара. Самарский гос. техн. ун-т, 2000. - 268 с.

Каштерук В. Е. Адаптация материалов к динамическим воздействиям. К.: Наук. думка, 1986. - 24 с.

Брагильский И. В., Добычин М. Н., Комбалов В. С. Основы расчетов на трение и износ. - М: Машиностроение, 1977. - 526 с.

Калов А. Н., Ровнова Э. А. Влияние хрома на свойства аустенитного марганцевого чугуна // Чугунное производство. - 1976. - №10. - С. 6.

И.В. Севонькаев

## ИСТОЧНИКИ ГРАВИТАЦИИ

Сделан обзор о нынешнем состоянии науки в области гравитации. Рассматриваются источники гравитационных волн как наиболее информативные на сегодняшний день; а также освещены методы и проекты по детектированию гравитационных волн. Рис 1, табл. 3, ист. 14.

Данная работа носит обзорный характер. Здесь будут рассмотрены источники гравитационных волн как наиболее информативные. Представлены методы, способы, а также проекты по детектированию гравитационных волн.

Спиноры, точно так же, как векторы, тензоры и дифференциальные формы, переносятся от случая плоского пространства-времени на случай искривленного.

Каждое событие  $P$  в искривленном пространстве-времени наделено касательным пространством. В нем существуют и действуют все векторы, тензоры и формы, определенные в  $P$ . Геометрия касательного пространства является лоренцевой (или лоренцева геометрия в событии  $P$ ), поскольку скалярное произведение двух векторов  $u$  и  $v$  в  $P$ , выраженное в ортогональной системе в  $P$ , есть

$$u^* v = g(u, v) = \eta_{\bar{\alpha}\bar{\beta}} u^{\bar{\alpha}} v^{\bar{\beta}},$$

где  $\eta$  — метрический тензор.

Таким образом, математически касательное пространство в  $P$ , с одной стороны, искривленное пространство-время — с другой ничем не различаются. Что можно сделать в математическом плане в одном из них, то можно сделать и в другом. В частности, весь метод спиноров, разработанный первоначально в плоском пространстве-времени, может быть без изменения перенесен в касательное пространство, связанное с искривленным событием  $P$  в искривленном пространстве-времени.

Спиноры в искривленном пространстве-времени являются незаменимым инструментом, если мы желаем изучить влияние гравитации на математическим аппаратом, если мы желаем изучить влияние гравитации на движущиеся частицы с полуцелым спинором (нейтрино, электроны, протоны). Использованные в качестве примера доказательство Хартли [1] того факта, что черная дыра не может действовать на внешнее вещество какими-либо дальнодействующими силами (т. е. что у черной дыры нет "волос слабого взаимодействия"). Это доказательство было бы невозможно без спинорного описания нейтринных полей в искривленном пространстве-времени.

Чтобы воспользоваться математикой спиноров, не обязательно иметь дело с



# **ВІСНИК**

**Східноукраїнського  
національного  
університету  
імені ВОЛОДИМИРА ДАЛЯ**

---

**НАУКОВИЙ ЖУРНАЛ**

**№7(53)  
2002**

МІНІСТЕРСТВО ОСВІТИ І НАУКИ УКРАЇНИ  
СХІДНОУКРАЇНСЬКИЙ НАЦІОНАЛЬНИЙ  
УНІВЕРСИТЕТ імені ВОЛОДИМИРА ДАЛЯ

# ВІСНИК

Східноукраїнського  
Національного університету  
імені ВОЛОДИМИРА ДАЛЯ

№7 (53) 2002

НАУКОВИЙ ЖУРНАЛ

Виданням СНУ  
Лютенька 2002

Н.А. Абрамов Н.А. Абрамов	Приемущества и недостатки вакуумной обработки и плавки	218	N.I. Brailo N.A. Abramov O.G. Rykunov
Н.А. Абрамов Н.А. Абрамов С.В. Абрамов Н.А. Абрамов	Приемущества и недостатки в разработке технологии нового типа	219	N.N. Miroshnikov
Н.А. Абрамов Г.С. Абрамов	Способ проката сталей безвспомогательных изделий из стали с улучшенными свойствами	220	N.N. Fedorchenko
Н.А. Абрамов	Легирование оцинкованных стальных прокатных изделий путем введение сульфидов	221	D.A. Volkov V.L. Kostylev V.A. Prosviryakov
Н.А. Абрамов Н.Д. Степанов	Изменение толщины	222	N.N. Chigrygin D.A. Gavrilov N.D. Kazan D.P. Gavrilov
Н.А. Абрамов Н.Д. Степанов	Изменение технологии тепловой обработки стального шара при СТЗ	223	N.N. Miroshnikov
А.А. Шимонин	Изменение содержания легирующих в металлических шарах в отходах производства	240	G.I. Nechaev G.G. Gelman E.A. Vasil'eva
А.А. Воробьев	Улучшение свойств стали рафинированной при использовании индукционной печи на распыляемый метод	251	V.V. Kravtsov V.V. Yul'yanov N.A. Zinchenko
В.И. Красников В.И. Бончук Д.А. Бончук О.Н. Захаровский	Повышение долговечности деталей автоматической технологии напыления металлокерамикой методом - эрозионного покрытия	258	V.V. Zelenetskiy N.N. Phillips K.V. Phillips
А.Б. Цыганников	Эффективность гидроабразивной обработки изотропных стальных	261	S.S. Vereshchagin
В.В. Мишук В.А. Мельник В.В. Савин А.В. Мишук	Совершенствование технологических процессов и оборудования для гидроабразивной обработки деталей	262	S.S. Vereshchagin
Д.Л. Пороз Д.М. Лубенская М.А. Калашник	Расчет магнитного поля в системе электродинамического виброГУППО	270	V.V. Berezin
Д.М. Лубенская А.В. Мишук С.Н. Ясуник	Система СПИЗ в гидроабразивной обработке и ее классификация	275	N.I. Gafarov T.S. Sutish M.R. Rey
В.Л. Дюбба А.Н. Ткаченко С.А. Ткаченко	Пневмогидравлический метод сжигания изотропных стальных	281	N.F. Alim V.N. Pan
	<b>Аннотации</b>	282	T.V. Shchegoleva
	<b>Сведения об авторах</b>	285	A.I. Gelman I.A. Gelman O.N. Dement'ev A.N. Tikhonov

УДК 621.771.073

Н.А. Будагьянц, Н.А. Жижкина.  
Роль модифицирования в формировании структуры рабочего слоя двухслойных центробежно-литых валков для горячей прокатки // Вісник СНУ ім. В. Даля – 2002. - №7.

Описаны особенности структурообразования таких валков. Установлено, что для улучшения качества материала рабочего слоя и измельчения его структуры необходимо дополнительное модифицирование ванадием. Показано, что дополнительное введение ванадия обеспечивает повышение стойкости высокохромистых валков в 3,2 раза.

УДК 621.74.043-621.771.07

Н.А. Будагьянц, Н.А. Жижкина, Ю.А. Кордык.  
В.И. Кондратенко. Применение персонального компьютера в разработке технологии валков нового типа // Вісник СНУ ім. В. Даля – 2002. - №7.

В работе предложена методика обработки результатов исследований при разработке валков нового типа. Описана специализированная программа для анализа процесса изготовления двухслойных центробежнолитых валков с рабочим слоем из высокохромистого чугуна. Показано, что для обработки полученных данных с ее помощью возможно применить многие статистические методы. Получены математические модели с оценкой их погрешностей и достоверности.

УДК 537.527

В.Л. Дзюба, Г.С. Калюжный. О выборе параметров схемы питания плазмотрона // Вісник СНУ ім. В. Даля – 2002. - №7.

Рассматривается задача определения параметров схемы питания плазмотрона, обеспечивающих затухание случайных возмущений тока дуги за заданное время. Рис. 3, Ист. 3.

УДК 621.74: 669.15.196.

В.А. Колесников. Особенности изнашивания графитизированных марганцевых чугунов в условиях сухого трения // Вісник СНУ ім. В. Даля – 2002. - №7.

Рассмотрено поведение графитизированных марганцевых чугунов в условиях сухого трения с учетом возрастания нагрузки. Показано, что на интенсивность изнашивания существенное влияние оказывает пластичность и вязкость марганцевого austenита. Отмечены некоторые аспекты поверхностного и объемного разрушения исследуемых чугунов с учетом гетерогенности их структурно-фазового состава.

# ВІСНИК

Східноукраїнського національного університету  
імені ВОЛОДИМИРА ДАЛЯ

№ 7 (53) 2002  
науковий журнал

Відповідальний за видавництво  
Відповідальний співредтор видавництва  
Літературний редактор  
Технічний редактор  
Оригінал-макет

Дроба В.Л.  
Андрющук А.О.  
Морозова І.О.  
Драгоман Т.М.  
Савин В.В.

Подано до друку 22.01.92

Формат 70 х 106 1/16. Папір офсетний Гарнітура Times New Roman.  
Друк офсетний. Уком. друк. кр. 27,5. Обл. друк. кр. 28,5.  
Нивка 300 пром. Швидк. № 36 ЧУП "Ліноком № 624". Ціна всієї.

Відповідальні  
Східноукраїнського національного  
університету  
імені ВОЛОДИМИРА ДАЛЯ  
90034, м. Луганськ,  
вул. Менделєєвськ, 29а

Видруковано з готовою комп'ютерною  
з ТОВ "СІР" "ЧІТ"

91034, м. Луганськ,  
вул. Менделєєвськ, 29а

Адреса редколегії: 91034, м. Луганськ, вул. Менделєєвськ, 29а.  
Телефон: +38 (0642) 46-13-64. Факс: +38 (0642) 46-13-64.  
E-mail: [visnik@vdu.edu.ua](mailto:visnik@vdu.edu.ua)

А.Н. Гуменко	10	А.В. Неструев	10
Н.Л. Гайдук		Ю.Ю. Григорьев	10
Ю.Р. Альбов		Ю.Ю. Калитин	10
А.Н. Гладышев		Ю.Ю. Смирнов	10
Н.Х. Гарифзянов		Ю.Ю. Чистяков	10
И.А. Микаров		Ю.А. Баскаков	10
Н.А. Поповский		Ю.В. Бирюков	10
Н.А. Гришакин		Ю.А. Чиркин	10
В.А. Басков	11	Ю.А. Чиркин	10
Н.А. Басков	11	Ю.А. Чиркин	10
А.Н. Литинский	11	Ю.А. Чиркин	10
В.Е. Смирновский	11	Ю.А. Чиркин	10
В.А. Кислов	11	Ю.А. Чиркин	10
Г.В. Бондарев	11	Ю.А. Чиркин	10
А.Н. Жукова	11	Ю.А. Чиркин	10
А.Н. Кравцов	11	Ю.А. Чиркин	10
О.Н. Красиков	11	Ю.А. Чиркин	10
В.М. Карпенко	11	Ю.А. Чиркин	10
Н.Н. Покотелов	11	Ю.А. Чиркин	10
В.П. Шимон	11	Ю.А. Чиркин	10
Н.Н. Ткач	11	Ю.А. Чиркин	10
О.А. Решетник	11	Ю.А. Чиркин	10
Е.А. Матвеев	11	Ю.А. Чиркин	10
В.П. Шимон	11	Ю.А. Чиркин	10
Н.Н. Ткач	11	Ю.А. Чиркин	10
А.В. Пономаренко	11	Ю.А. Чиркин	10
Сравнительная оценка критерия работоспособности	111	Ю.А. Чиркин	10
перегородок с различной геометрией тупик		Ю.А. Чиркин	10
Определение геометрии тупиков гидравлических колес	111	Ю.А. Чиркин	10
нарезанных резцами инструментом		Ю.А. Чиркин	10
Определение погрешности вычисления неполноты	111	Ю.А. Чиркин	10
сторон топлива через молекуларные массы		Ю.А. Чиркин	10
компонентов в составе газа в процессе диагностирования		Ю.А. Чиркин	10
двигателей		Ю.А. Чиркин	10
Использование вибрации в технологии получения	116	Ю.А. Чиркин	10
металлокерамических материалов		Ю.А. Чиркин	10
Щадло плавления проницаемости моторно-сековых	116	Ю.А. Чиркин	10
тормозников локомотивов		Ю.А. Чиркин	10
Влияние экзотермической смеси, входящей в состав	116	Ю.А. Чиркин	10
наполнителя самозажигающейся порошковой пропеллы, на		Ю.А. Чиркин	10
повышение производительности наплавки		Ю.А. Чиркин	10
В.М. Карпенко	117	Ю.А. Чиркин	10
А.Н. Цветков		Ю.А. Чиркин	10
М.В. Стариковский		Ю.А. Чиркин	10
В.М. Карпенко	117	Ю.А. Чиркин	10
А.Н. Цветков		Ю.А. Чиркин	10
М.В. Стариковский		Ю.А. Чиркин	10

**Колесников В.А.** Особенности износа графитизированных марганцевых чугунов в условиях сухого трения // Вісник СНУ ім. В. Даля – 2002.- №7. – С. 232-239.

Вісник Східноукраїнського національного університету імені Володимира Даля

Колесніков Валерій Олександрович

Колесников Валерий Александрович

Kolesnikov Valerii Oleksandrovich

[https://kidkrasnodon.at.ua/load/osobennosti\\_iznosa\\_grafitizirovannykh\\_margancev\\_ykh\\_chugunov\\_v\\_uslovijakh\\_sukhogo\\_trenija/1-1-0-73](https://kidkrasnodon.at.ua/load/osobennosti_iznosa_grafitizirovannykh_margancev_ykh_chugunov_v_uslovijakh_sukhogo_trenija/1-1-0-73)

[https://kolesnikov.ucoz.com/load/osobennosti\\_iznosa\\_grafitizirovannykh\\_marganc\\_eykh\\_chugunov\\_v\\_uslovijakh\\_sukhogo\\_trenija/1-1-0-268](https://kolesnikov.ucoz.com/load/osobennosti_iznosa_grafitizirovannykh_marganc_eykh_chugunov_v_uslovijakh_sukhogo_trenija/1-1-0-268)